



Laboratorium Badań Środowiskowych
ul. Józefa Piusa Dziekońskiego 3
00-728 Warszawa
e-mail: Laboratorium@networks.pl



AB 419

S P R A W O Z D A N I E 9200/2023/OS
Z POMIARÓW PÓL ELEKTROMAGNETYCZNYCH
WYKONANYCH DLA POTRZEB OCHRONY ŚRODOWISKA

Badany obiekt: Instalacja radiokomunikacyjna T-Mobile Polska S.A.
Numer i nazwa: 22218 (93009N!) WCI_MLAWA_INSTALATOROW1
Adres: MŁAWA, INSTALATORÓW 1, Powiat mławski, WOJ. MAZOWIECKIE

Data wykonania pomiarów: 2023-11-15

Sprawozdanie z badań bez pisemnej zgody laboratorium nie może być powielane inaczej niż w całości.
Wynik przedstawione w niniejszym sprawozdaniu odnoszą się wyłącznie do badanego obiektu i do warunków i konfiguracji urządzeń w dniu wykonywania pomiarów.

1. Właściciel badanego obiektu:

T-Mobile Polska S.A., ul. Marynarska 12, 02-674 Warszawa

2. Zleceniodawca:

T-Mobile Polska S.A., ul. Marynarska 12, 02-674 Warszawa

3. Przedstawiciel zleceniodawcy:

NetWorkS! Sp.z o.o.

4. Zakres zlecenia:

Wykonanie badania i opracowanie sprawozdania z pomiarów natężenia pola elektrycznego i pola magnetycznego dla instalacji radiokomunikacyjnej T-Mobile Polska S.A. zlokalizowanej w miejscowości MŁAWA, INSTALATORÓW 1.

5. Cel zlecenia:

Wykonanie pomiarów pól elektromagnetycznych w otoczeniu instalacji radiokomunikacyjnej 22218 (93009N!) WCI_MLAWA_INSTALATOROW1 w odniesieniu do wymagań określonych w *Rozporządzeniu Ministra Klimatu z dnia 17 lutego 2020 r. w sprawie sposobów sprawdzania dotrzymania dopuszczalnych poziomów pól elektromagnetycznych w środowisku (Dz.U. 2022 poz. 2630)*.

6. Pomiary zostały wykonane przez:

Kubik Bartłomiej
Czechowicz Kacper

7. Informacje o źródłach pól elektromagnetycznych

7.1. Sposób identyfikacji badanych źródeł pól elektromagnetycznych

Identyfikacji źródeł i parametrów technicznych dokonano na podstawie analizy dokumentacji dotyczącej zlecenia oraz obserwacji miejsca wykonywania badań.

7.2. Opis miejsca zainstalowania anten i urządzeń technicznych. Opis obiektu badań i jego otoczenia

Instalacja radiokomunikacyjna zlokalizowana jest na terenie ogrodzonym. Anteny zawieszono na wieży kratowej. Urządzenia sterujące oraz zasilające zainstalowano w kontenerze u podstawy wieży. Wokół instalacji znajdują się tereny przemysłowe.

Instalacja radiokomunikacyjna jest obiektem bezobsługowym. Okresowe stanowiska pracy związane są z prowadzonymi w zależności od potrzeb konserwacjami, przeglądami, strojeniem i naprawami.

7.3. Parametry techniczne źródła pola elektromagnetycznego

Dane przedstawiające maksymalne parametry pracy instalacji przekazane przez zleceniodawcę:

Parametry systemu nadawczo-odbiorczego:

Charakterystyka promieniowania		kierunkowa					
Rzeczywisty czas pracy [h/dobę]		24					
Warunki pracy		znamionowe					
Rodzaj wytwarzanego pola		stacjonarne					
Lp.	Częstotliwość lub zakresy częstotliwości pracy [MHz]	Typ/producent anteny	liczba anten	Azymut [°]	kąt pochylenia* [°]	Wysokość środka elektrycznego anteny [m n.p.t]	Równoważna moc promieniowana izotropowo (EIRP) [W]
1	800/900/1800/2100/2600	ASI4518R39v07 Huawei	1	90	2/2/2/2/3	35.5	32057
2	800/900/1800/2100/2600	ASI4518R39v07 Huawei	1	180	4/4/3/3/3	35.5	32057
3	800/900/1800/2100/2600	ASI4518R39v07 Huawei	1	320	2/2/2/2/2	35.5	32057

* wskazane wartości kąta pochylenia anten, zgodnie z informacją uzyskaną od zleceniodawcy, są wartościami stałymi

Parametry radiolinii:

Charakterystyka promieniowania		kierunkowa					
Rzeczywisty czas pracy [h/dobę]		24					
Warunki pracy		znamionowe					
Rodzaj wytwarzanego pola		stacjonarne					
Lp.	Linia radiowa			Antena			
	Typ/ Producent	Częstotliwość pracy [GHz]	Równoważna moc promieniowana izotropowo (EIRP) [W]	Typ/ producent	Średnica anteny [m]	Azymut [°]	Wysokość zainstalowania n.p.t [m]
1.	NP ERICSSON ML 6352 R2+ 70/80GHz 250MHz Ericsson	80	7080	ANT2_0.6 80 HP/HPX Ericsson	0.6	53	68.5
2.	NP ERICSSON RAU2X 23GHz 28MHz Ericsson	23	11749	ANT2_1.2 23 HP Ericsson	1.2	53	68.5
3.	NEC iPasolink 100E Harris Stratex	38	4	VHLP1-38 Andrew	0.3	129	72
4.	Aviat WTM 3100 Harris Stratex	38	252	VHLP1-38 Andrew	0.3	140	72
5.	Ericsson CN510 RAU2X Harris Stratex	38	100	ANT2_0.3 38 HP Ericsson	0.3	148	72
6.	NP ERICSSON ML 6363 23GHz 2x28MHz XPIC Ericsson	23	14827	ANT3_1.2 23 HP/HPX Ericsson	1.2	156	65.5
7.	NP ERICSSON RAU2X 7GHz 2x28MHz XPIC planB Ericsson	7	10741	ANT2_1.2 7/8 HP/HPX Ericsson	1.2	158	70.5
8.	Ericsson CN510 RAU2X Harris Stratex	32	399	VHLP1-32 Andrew	0.3	160	72
9.	NEC iPasolink 100E Harris Stratex	38	708	VHLP1-38 Andrew	0.3	167	61

Sprawozdanie z badań bez pisemnej zgody laboratorium nie może być powielane inaczej niż w całości.
Wynik przedstawione w niniejszym sprawozdaniu odnoszą się wyłącznie do badanego obiektu i do warunków i konfiguracji urządzeń w dniu wykonywania pomiarów.

Charakterystyka promieniowania				kierunkowa			
Rzeczywisty czas pracy [h/dobę]				24			
Warunki pracy				znamionowe			
Rodzaj wytwarzanego pola				stacjonarne			
Lp.	Linia radiowa			Antena			
	Typ/ Producent	Częstotliwość pracy [GHz]	Równoważna moc promieniowana izotropowo (EIRP) [W]	Typ/ producent	Średnica anteny [m]	Azymut [°]	Wysokość zainstalowania n.p.t [m]
10.	NP ERICSSON RAU2X 23GHz 2x28MHz XPIC / NP ERICSSON ML 6352 R2+ 70/80GHz 250MHz Ericsson	23/80	3640/4266	ANT2/2_0.6 23/80 HPX/HP Ericsson	0.6	207	65.5
11.	Ericsson Mini-Link 6352 Harris Stratex	80	13	ANT2_0.3 80 HP Ericsson	0.3	359	72

7.4 Inne źródła pól elektromagnetycznych

Na podstawie informacji otrzymanych od użytkownika oraz obserwacji otoczenia miejsca wykonywania pomiarów stwierdzono występowanie innych źródeł pola-EM, pracujących w systemie: telefonii komórkowej (800MHz-2600MHz), linii radiowych (5GHz – 90GHz), które istotnie wpływają na wyniki pomiarów.

8. Opis pomiarów

8.1. Metoda badań

Zgodna z rozporządzeniem Ministra Klimatu z dnia 17 lutego 2020 r. w sprawie sposobów sprawdzania dotrzymania dopuszczalnych poziomów pól elektromagnetycznych w środowisku (Dz.U. 2022 poz. 2630), określona w pkt 25 ppkt 1 załącznika do niniejszego rozporządzenia.

8.2. Termin pomiarów i warunki środowiskowe

Podczas wykonywania pomiarów pól elektromagnetycznych nie występowały opady atmosferyczne. Wyniki pomiaru parametrów pogodowych przedstawia poniższa tabela:

Data [rrrr-mm-dd]	Godzina [hh:mm-hh:mm]	Warunki środowiskowe			
		Temperatura [°C]		Wilgotność względna [%]	
2023-11-15	08:10-09:20	Przed pomiarem	Po pomiarach	Przed pomiarem	Po pomiarach
		8.0	8.4	67.2	67.0

Przedstawione wyżej warunki środowiskowe, występujące podczas wykonywania pomiarów pól elektromagnetycznych, są zgodne ze specyfikacją techniczną użytego zestawu pomiarowego.

8.3. Warunki pracy urządzeń nadawczych

Podczas pomiarów w przypadku uzyskania wyniku pomiaru szerokopasmowego wykonanego zastosowaną metodą, dla zakresów częstotliwości od 10 MHz do 300 GHz, powiększonego o rozszerzoną niepewność pomiaru U dla współczynnika rozszerzenia $k = 2$ przekraczającego 70% najniższej dopuszczalnej wartości składowej elektrycznej lub magnetycznej pola dla objętych pomiarami zakresów częstotliwości, uwzględnia się poprawki pomiarowe przekazane przez zleceniodawcę, umożliwiające uwzględnienie maksymalnych parametrów pracy instalacji zgodnie z pkt 7 załącznika do Rozporządzeniem Ministra Klimatu z dnia 17 lutego 2020 r. w sprawie sposobów sprawdzania dotrzymania dopuszczalnych poziomów pól elektromagnetycznych w środowisku (Dz. U. 2022, poz. 2630) zaznaczając, że wymagane jest wykonanie pomiaru z wykorzystaniem miernika selektywnego. W przypadku uzyskania wyniku pomiaru szerokopasmowego wykonanego zastosowaną metodą, dla zakresów częstotliwości od 10 MHz do 300 GHz, powiększonego o rozszerzoną niepewność pomiaru U dla współczynnika rozszerzenia $k = 2$ nieprzekraczającego 70% najniższej dopuszczalnej wartości składowej elektrycznej lub magnetycznej pola dla objętych pomiarami zakresów częstotliwości, nie uwzględnia się poprawek pomiarowych.

8.4. Wyposażenie pomiarowe

Zestaw pomiarowy służący do pomiaru natężenia składowej elektrycznej pola elektromagnetycznego złożony z szerokopasmowego miernika i sondy pomiarowej:

Oznaczenie miernika	Producent	Model	Numer fabryczny	Oznaczenie sondy	Producent	Model	Numer fabryczny
MW-06	Wavecontrol	Miernik pół elektromagnetycznych SMP2	22SN2088	SW-11	Wavecontrol	Sonda WPF60	22WP230219

Mierniki natężenia pola elektromagnetycznego podlegają okresowemu sprawdzeniu zgodnie z procedurą wewnętrzną P-03 i PB-01. Świadczenie wzorcowania zestawu pomiarowego z dnia 4 listopada 2022 o numerze LWiMP/W/334/22 wydane przez Politechnikę Wrocławską.

Data ważności świadectwa wzorcowania: 4 listopada 2024 (zgodnie z procedurą wewnętrzną P-03).

Oznaczenie miernika	Producent	Model	Numer fabryczny	Oznaczenie sondy	Producent	Model	Numer fabryczny
MW-06	Wavecontrol	Miernik pół elektromagnetycznych SMP2	22SN2088	SW-12	Wavecontrol	Sonda WPF3-HP	22WP030448

Mierniki natężenia pola elektromagnetycznego podlegają okresowemu sprawdzeniu zgodnie z procedurą wewnętrzną P-03 i PB-01. Świadczenie wzorcowania zestawu pomiarowego z dnia 4 listopada 2022 o numerze LWiMP/W/334/22 wydane przez Politechnikę Wrocławską.

Data ważności świadectwa wzorcowania: 4 listopada 2024 (zgodnie z procedurą wewnętrzną P-03).

Termohigrometr:

Oznaczenie:	TH-15	Producent:	AZ INSTRUMENT CORP	Model:	Termohigrometr AZ8706
-------------	-------	------------	--------------------	--------	-----------------------

Data ważności świadectwa wzorcowania: 3 stycznia 2025 (zgodnie z procedurą wewnętrzną P-03).

Dalmierz:

Oznaczenie	Producent	Typ	Numer seryjny	Nr świadectwa wzorcowania	Data świadectwa wzorcowania
D-15	Leica	Dalmierz Leica Disto D510	1061801909	L4-L41.4180.14.2017.3086.1	1 września 2017

Data ważności świadectwa wzorcowania: 1 września 2027 (zgodnie z procedurą wewnętrzną P-03).

Odbiornik GNSS:

Odbiornik GNSS wbudowany w miernik natężenia pola elektromagnetycznego użyty podczas pomiarów	Producent	Model
	UBlox	MAX-M8Q

Odbiorniki podlegają okresowemu sprawdzeniu zgodnie z procedurą wewnętrzną P-03.

9. Wyniki pomiarów

Pole elektryczne

Nr pionu	Opis umiejscowienia pionu (punktu) pomiarowego	Wysokość pomiaru [m]	Zmierzona wartość natężenia pola elektrycznego E [V/m] ^{1,5}			Wartość natężenia pola elektrycznego powiększona o niepewność pomiaru ⁴ E [V/m]	Wskaźnikowa wartość poziomu emisji pół elektromagnetycznych WM _E ³	Współrzędne geograficzne pionu (punktu) pomiarowego ²
			Sonda SW-11	Sonda SW-12	SUMA			
1	GKP w odległości 11m od anteny sektorowej az. 90°	2.0	1.6	1.6	1.6	2	0.07	53°8'10.7" 20°20'57.1"
2	GKP w odległości 37m od anteny sektorowej az. 90°	2.0	2.2	2.2	2.2	2.8	0.1	53°8'10.7" 20°20'58.6"
3	GKP w odległości 71m od anteny sektorowej az. 90°	0.3-2.0	2.5	2.5	2.5	3.2	0.11	53°8'10.7" 20°21'0.4"
4	GKP w odległości 103m od anteny sektorowej az. 90°	0.3-2.0	<1.0*	<1.0*	<1.0*	1.3	0.05	53°8'10.7" 20°21'2.2"
5	GKP w odległości 15m od anteny radioliniowej az. 129°	2.0	1.6	1.6	1.6	2	0.07	53°8'10.3" 20°20'57.5"

Sprawozdanie z badań bez pisemnej zgody laboratorium nie może być powielane inaczej niż w całości.

Wynik przedstawione w niniejszym sprawozdaniu odnoszą się wyłącznie do badanego obiektu i do warunków i konfiguracji urządzeń w dniu wykonywania pomiarów.

6	GKP w odległości 35m od anteny radioliniowej az. 129°	2.0	2.3	2.3	2.3	2.9	0.1	53°8'10.0" 20°20'58.2"
7	GKP w odległości 55m od anteny radioliniowej az. 129°	2.0	2.5	2.5	2.5	3.2	0.11	53°8'9.6" 20°20'58.9"
8	GKP w odległości 15m od anteny radioliniowej az. 140°	2.0	1.6	1.6	1.6	2	0.07	53°8'10.3" 20°20'57.1"
9	GKP w odległości 35m od anteny radioliniowej az. 140°	2.0	2.3	2.3	2.3	2.9	0.1	53°8'10.0" 20°20'57.8"
10	GKP w odległości 55m od anteny radioliniowej az. 140°	2.0	2.5	2.5	2.5	3.2	0.11	53°8'9.2" 20°20'58.6"
11	GKP w odległości 17m od anteny sektorowej az. 180°	2.0	1.6	1.6	1.6	2	0.07	53°8'10.0" 20°20'56.4"
12	GKP w odległości 47m od anteny sektorowej az. 180°	2.0	2.5	2.5	2.5	3.2	0.11	53°8'8.9" 20°20'56.4"
13	GKP w odległości 82m od anteny sektorowej az. 180°	0.3-2.0	<1.0*	<1.0*	<1.0*	1.3	0.05	53°8'7.8" 20°20'56.4"
14	GKP w odległości 29m od anteny radioliniowej az. 207°	2.0	1.6	1.6	1.6	2	0.07	53°8'9.6" 20°20'55.7"
15	GKP w odległości 94m od anteny radioliniowej az. 207°	0.3-2.0	<1.0*	<1.0*	<1.0*	1.3	0.05	53°8'7.8" 20°20'54.2"
16	PKP na az. 239° w odległości 54m od anteny sektorowej az. 320°	2.0	2.2	2.2	2.2	2.8	0.1	53°8'10.0" 20°20'53.9"
17	GKP w odległości 44m od anteny sektorowej az. 320°	2.0	2.0	2.0	2.0	2.5	0.09	53°8'11.8" 20°20'55.0"
18	GKP w odległości 106m od anteny sektorowej az. 320°	0.3-2.0	<1.0*	<1.0*	<1.0*	1.3	0.05	53°8'13.2" 20°20'52.8"
19	GKP w odległości 52m od anteny radioliniowej az. 359°	0.3-2.0	<1.0*	<1.0*	<1.0*	1.3	0.05	53°8'12.5" 20°20'56.4"
20	GKP w odległości 90m od anteny radioliniowej az. 359°	0.3-2.0	<1.0*	<1.0*	<1.0*	1.3	0.05	53°8'13.6" 20°20'56.4"
21	PKP w oknie parterowego budynku przemysłowego	2.0	2.3	2.3	2.3	2.9	0.1	53°8'8.2" 20°20'56.0"
22	GKP w odległości 78m od anteny radioliniowej az. 148°	0.3-2.0	<1.0*	<1.0*	<1.0*	1.3	0.05	53°8'8.5" 20°20'58.9"
23	GKP w odległości 75m od anteny radioliniowej az. 156°	0.3-2.0	<1.0*	<1.0*	<1.0*	1.3	0.05	53°8'8.5" 20°20'58.2"
24	GKP w odległości 75m od anteny radioliniowej az. 160°	0.3-2.0	<1.0*	<1.0*	<1.0*	1.3	0.05	53°8'8.5" 20°20'58.2"
25	GKP w odległości 72m od anteny radioliniowej az. 158°	0.3-2.0	<1.0*	<1.0*	<1.0*	1.3	0.05	53°8'8.5" 20°20'57.8"
26	GKP w odległości 75m od anteny radioliniowej az. 167°	0.3-2.0	<1.0*	<1.0*	<1.0*	1.3	0.05	53°8'8.2" 20°20'57.5"
-	GKP w odległości 297m od anteny sektorowej az. 90°	0.3-2.0	<1.0*	<1.0*	<1.0*	1.3	0.05	53°8'10.7" 20°21'12.6"
-	GKP w odległości 261m od anteny sektorowej az. 180°	0.3-2.0	<1.0*	<1.0*	<1.0*	1.3	0.05	53°8'2.0" 20°20'56.4"
-	GKP w odległości 493m od anteny sektorowej az. 320°	0.3-2.0	<1.0*	<1.0*	<1.0*	1.3	0.05	53°8'22.9" 20°20'39.5"
30	GKP w odległości 8m od anteny radioliniowej az. 53°	0.3-2.0	1.6	1.6	1.6	2	0.07	53°8'10.7" 20°20'57.1"
31	GKP w odległości 7m od anteny radioliniowej az. 53°	0.3-2.0	1.5	1.5	1.5	1.9	0.07	53°8'10.7" 20°20'56.8"

Pole magnetyczne (wyznaczone na podstawie pomiaru wartości natężenia pola elektrycznego)

Nr pionu	Opis umiejscowienia pionu (punktu pomiarowego)	Wysokość pomiaru [m]	Wartość natężenia pola magnetycznego H [A/m] ¹			Wartość natężenia pola magnetycznego powiększona o niepewność pomiaru ⁴ H [A/m]	Wskaźnikowa wartość poziomu emisji pól elektromagnetycznych WM _H ³	Współrzędne geograficzne pionu (punktu pomiarowego) ²
			Sonda SW-11	Sonda SW-12	SUMA			
1	GKP w odległości 11m od anteny sektorowej az. 90°	2.0	0.004	0.004	0.004	0.005	0.07	53°8'10.7" 20°20'57.1"
2	GKP w odległości 37m od anteny sektorowej az. 90°	2.0	0.006	0.006	0.006	0.007	0.1	53°8'10.7" 20°20'58.6"
3	GKP w odległości 71m od anteny sektorowej az. 90°	0.3-2.0	0.007	0.007	0.007	0.008	0.12	53°8'10.7" 20°21'0.4"

Sprawozdanie z badań bez pisemnej zgody laboratorium nie może być powielane inaczej niż w całości.
Wynik przedstawione w niniejszym sprawozdaniu odnoszą się wyłącznie do badanego obiektu i do warunków i konfiguracji urządzeń w dniu wykonywania pomiarów.

4	GKP w odległości 103m od anteny sektorowej az. 90°	0.3-2.0	<0.003*	<0.003*	<0.003*	0.003	0.05	53°8'10.7" 20°21'2.2"
5	GKP w odległości 15m od anteny radioliniowej az. 129°	2.0	0.004	0.004	0.004	0.005	0.07	53°8'10.3" 20°20'57.5"
6	GKP w odległości 35m od anteny radioliniowej az. 129°	2.0	0.006	0.006	0.006	0.008	0.11	53°8'10.0" 20°20'58.2"
7	GKP w odległości 55m od anteny radioliniowej az. 129°	2.0	0.007	0.007	0.007	0.008	0.12	53°8'9.6" 20°20'58.9"
8	GKP w odległości 15m od anteny radioliniowej az. 140°	2.0	0.004	0.004	0.004	0.005	0.07	53°8'10.3" 20°20'57.1"
9	GKP w odległości 35m od anteny radioliniowej az. 140°	2.0	0.006	0.006	0.006	0.008	0.11	53°8'10.0" 20°20'57.8"
10	GKP w odległości 55m od anteny radioliniowej az. 140°	2.0	0.007	0.007	0.007	0.008	0.12	53°8'9.2" 20°20'58.6"
11	GKP w odległości 17m od anteny sektorowej az. 180°	2.0	0.004	0.004	0.004	0.005	0.07	53°8'10.0" 20°20'56.4"
12	GKP w odległości 47m od anteny sektorowej az. 180°	2.0	0.007	0.007	0.007	0.008	0.12	53°8'8.9" 20°20'56.4"
13	GKP w odległości 82m od anteny sektorowej az. 180°	0.3-2.0	<0.003*	<0.003*	<0.003*	0.003	0.05	53°8'7.8" 20°20'56.4"
14	GKP w odległości 29m od anteny radioliniowej az. 207°	2.0	0.004	0.004	0.004	0.005	0.07	53°8'9.6" 20°20'55.7"
15	GKP w odległości 94m od anteny radioliniowej az. 207°	0.3-2.0	<0.003*	<0.003*	<0.003*	0.003	0.05	53°8'7.8" 20°20'54.2"
16	PKP na az. 239° w odległości 54m od anteny sektorowej az. 320°	2.0	0.006	0.006	0.006	0.007	0.1	53°8'10.0" 20°20'53.9"
17	GKP w odległości 44m od anteny sektorowej az. 320°	2.0	0.005	0.005	0.005	0.007	0.09	53°8'11.8" 20°20'55.0"
18	GKP w odległości 106m od anteny sektorowej az. 320°	0.3-2.0	<0.003*	<0.003*	<0.003*	0.003	0.05	53°8'13.2" 20°20'52.8"
19	GKP w odległości 52m od anteny radioliniowej az. 359°	0.3-2.0	<0.003*	<0.003*	<0.003*	0.003	0.05	53°8'12.5" 20°20'56.4"
20	GKP w odległości 90m od anteny radioliniowej az. 359°	0.3-2.0	<0.003*	<0.003*	<0.003*	0.003	0.05	53°8'13.6" 20°20'56.4"
21	PKP w oknie parterowego budynku przemysłowego	2.0	0.006	0.006	0.006	0.008	0.11	53°8'8.2" 20°20'56.0"
22	GKP w odległości 78m od anteny radioliniowej az. 148°	0.3-2.0	<0.003*	<0.003*	<0.003*	0.003	0.05	53°8'8.5" 20°20'58.9"
23	GKP w odległości 75m od anteny radioliniowej az. 156°	0.3-2.0	<0.003*	<0.003*	<0.003*	0.003	0.05	53°8'8.5" 20°20'58.2"
24	GKP w odległości 75m od anteny radioliniowej az. 160°	0.3-2.0	<0.003*	<0.003*	<0.003*	0.003	0.05	53°8'8.5" 20°20'58.2"
25	GKP w odległości 72m od anteny radioliniowej az. 158°	0.3-2.0	<0.003*	<0.003*	<0.003*	0.003	0.05	53°8'8.5" 20°20'57.8"
26	GKP w odległości 75m od anteny radioliniowej az. 167°	0.3-2.0	<0.003*	<0.003*	<0.003*	0.003	0.05	53°8'8.2" 20°20'57.5"
-	GKP w odległości 297m od anteny sektorowej az. 90°	0.3-2.0	<0.003*	<0.003*	<0.003*	0.003	0.05	53°8'10.7" 20°21'12.6"
-	GKP w odległości 261m od anteny sektorowej az. 180°	0.3-2.0	<0.003*	<0.003*	<0.003*	0.003	0.05	53°8'2.0" 20°20'56.4"

Sprawozdanie z badań bez pisemnej zgody laboratorium nie może być powielane inaczej niż w całości.
Wynik przedstawione w niniejszym sprawozdaniu odnoszą się wyłącznie do badanego obiektu i do warunków i konfiguracji urządzeń w dniu wykonywania pomiarów.

-	GKP w odległości 493m od anteny sektorowej az. 320°	0.3-2.0	<0.003*	<0.003*	<0.003*	0.003	0.05	53°8'22.9" 20°20'39.5"
30	GKP w odległości 8m od anteny radioliniowej az. 53°	0.3-2.0	0.004	0.004	0.004	0.005	0.07	53°8'10.7" 20°20'57.1"
31	GKP w odległości 7m od anteny radioliniowej az. 53°	0.3-2.0	0.004	0.004	0.004	0.005	0.07	53°8'10.7" 20°20'56.8"

GKP – Główny Kierunek Pomiarowy

PKP – Pomocniczy Kierunek Pomiarowy

¹ wyniki oznaczone * są wynikami poniżej czułości zestawu pomiarowego i są wynikami spoza zakresu akredytacji. Do obliczenia wyniku skorygowanego przyjęto wartość skorelowaną z rzeczywistym wynikiem pomiaru - dolną granicę akredytowanego zakresu pomiarowego metody

² współrzędne geograficzne pozyskane metodą pomiaru bezpośredniego

³ do wyznaczenia wartości wskaźnikowej W_{Me} i W_{Mh} przyjęto na podstawie uzgodnień z klientem oraz rozpoznania źródeł, jako wartości dopuszczalne pola elektrycznego i magnetycznego odpowiednio 28 V/m i 0,073 A/m.

⁴ do wyznaczenia niepewności dla wyników poniżej czułości zestawu pomiarowego, przyjęto niepewność dla minimalnej wartości z zakresu pomiarowego.

⁵ maksymalna wartość chwilowa

Niepewność oszacowano zgodnie z dokumentem P-03 „Procedura nadzoru nad wyposażeniem” w postaci niepewności rozszerzonej wynikającej z niepewności standardowej pomnożonej przez współczynnik rozszerzenia $k=2$.

Całkowita szacowana niepewność rozszerzona składowej E wynosi odpowiednio:

sonda SW-11: 27.5% dla częstotliwości do 3 GHz, sonda SW-12: 27.9% dla częstotliwości do 3 GHz

Umiejscowienie pionów (punktów) pomiarowych przedstawiono w załączniku nr 2 do niniejszego sprawozdania.

10. Omówienie wyników pomiarów

W związku z tym, że żadna z wartości zmierzonych, udokumentowanych w tabelach w pkt. 9, uzyskanych w skutek zastosowania pomiaru szerokopasmowego, powiększonego o rozszerzoną niepewność pomiaru U dla współczynnika rozszerzenia $k = 2$ nie przekroczyła 70% najniższej dopuszczalnej wartości składowej elektrycznej lub magnetycznej pola dla objętych pomiarami zakresów częstotliwości, nie uwzględnia się poprawek pomiarowych.

W wyniku zastosowania sposobu sprawdzenia dotrzymania dopuszczalnych poziomów pól elektromagnetycznych w środowisku, zgodnie pkt 25 ppkt 1 Rozporządzenia Ministra Klimatu z dnia 17 lutego 2020 r. (Dz. U. 2022, poz. 2630), w związku z tym, że żadna z wartości wskaźnikowych, udokumentowanych w tabelach w pkt. 9 nie przekracza wartości 1, stwierdza się, że w miejscach, w których wykonano pomiary w otoczeniu instalacji radiokomunikacyjnej 22218 (93009N!) WCI_MLAWA_INSTALATOROW1, dopuszczalne poziomy pól elektromagnetycznych w środowisku należy uznać za dotrzymane.

Miejsca niedostępne podczas wykonywania pomiarów wskazane zostały w pkt. 9 (Wyniki pomiarów) lub na załączniku przedstawiającym usytuowanie pionów pomiarowych.

11. Podstawa prawna

- 1) Ustawa z dnia 27 kwietnia 2001 r. Prawo ochrony środowiska (Dz.U. 2022 poz. 2556)
- 2) Rozporządzenie Ministra Zdrowia z dnia 17 grudnia 2019 r. w sprawie dopuszczalnych poziomów pól elektromagnetycznych w środowisku (Dz. U. 2019, poz. 2448)
- 3) Rozporządzenie Ministra Klimatu z dnia 17 lutego 2020 r. w sprawie sposobów sprawdzania dotrzymania dopuszczalnych poziomów pól elektromagnetycznych w środowisku (Dz. U. 2022, poz. 2630),
- 4) Akredytacja nr AB 419 wydana przez Polskie Centrum Akredytacji (wydanie 21, z dnia 11 kwietnia 2023 r.)

Sprawozdanie z badań bez pisemnej zgody laboratorium nie może być powielane inaczej niż w całości.
Wynik przedstawione w niniejszym sprawozdaniu odnoszą się wyłącznie do badanego obiektu i do warunków i konfiguracji urządzeń w dniu wykonywania pomiarów.

12. Spis załączników

- Załącznik 1. Lokalizacja obiektu badań
- Załącznik 2. Usytuowanie pionów (punktów) pomiarowych
- Załącznik 3. Dokumentacja fotograficzna obiektu badań

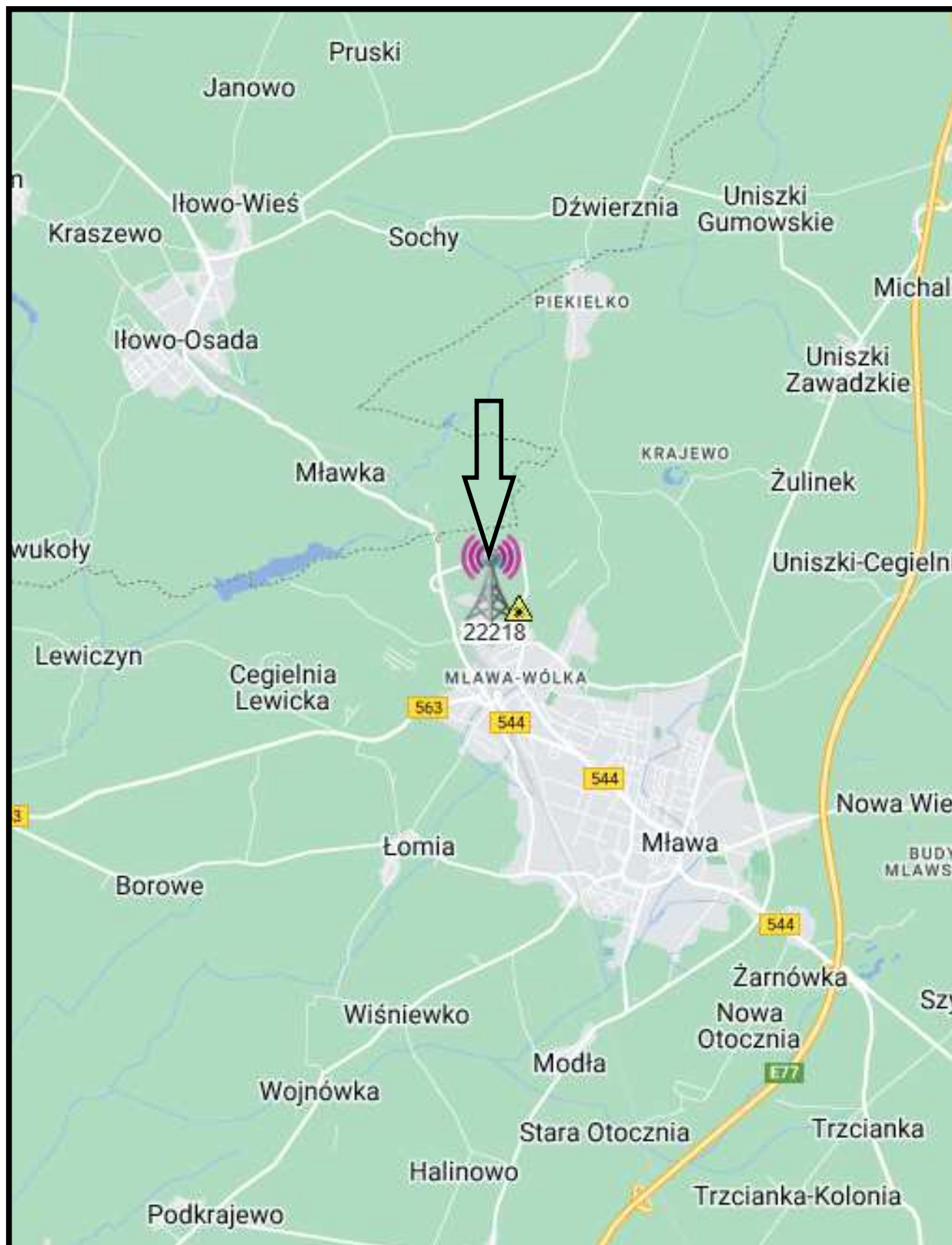
13. Data wydania i autoryzowania sprawozdania

Obliczenia i sprawozdanie wykonał :

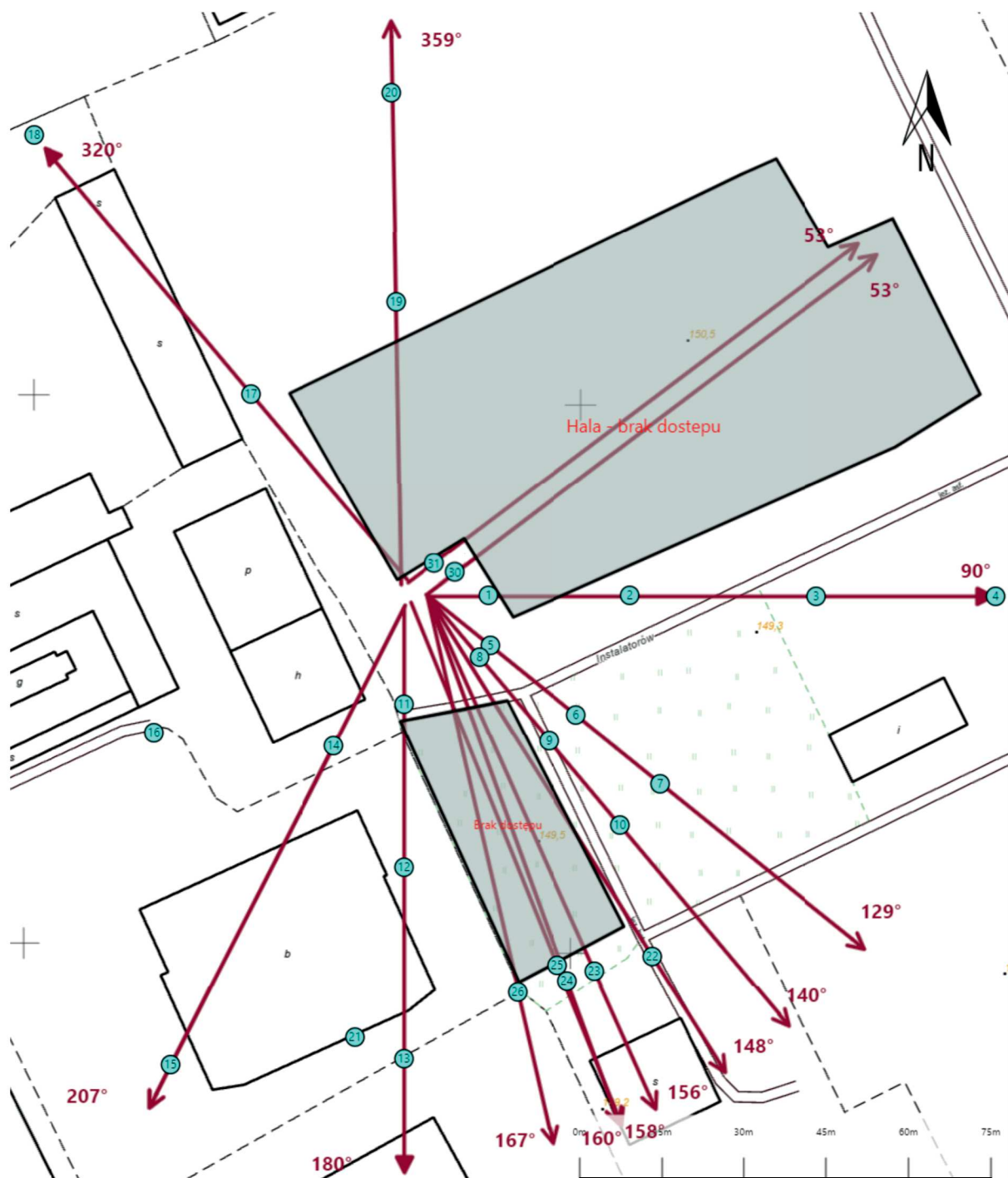
Sprawozdanie autoryzował:

Koniec sprawozdania

Sprawozdanie z badań bez pisemnej zgody laboratorium nie może być powielane inaczej niż w całości.
Wynik przedstawione w niniejszym sprawozdaniu odnoszą się wyłącznie do badanego obiektu i do warunków i konfiguracji urządzeń w dniu wykonywania pomiarów.



Załącznik nr 1	INSTALACJA RADIOKOMUNIKACYJNA T-Mobile Polska S.A. 22218 (93009N!) WCI_MLAWA_INSTALATOROW1 Lokalizacja instalacji radiokomunikacyjnej
----------------	---



Załącznik nr 2	<p style="text-align: center;">Instalacja radiokomunikacyjna T-Mobile Polska S.A. WCI_MLAWA_INSTALATOROW1 (93009N!)</p> <p style="text-align: center;">Usytuowanie pionów pomiarowych w otoczeniu instalacji radiokomunikacyjnej</p>
	<p>Legenda:</p> <div style="display: flex; justify-content: space-around; align-items: flex-start;"> <div style="text-align: center;">  Brak dostępu </div> <div style="text-align: center;">  Pion pomiarowy </div> <div style="text-align: center;">  Kierunek oddziaływania anten sektorowych </div> <div style="text-align: center;">  Kierunek oddziaływania anten radioliniowych </div> </div>



Załącznik nr 3

INSTALACJA RADIOKOMUNIKACYJNA T-Mobile Polska S.A. 22218 (93009N!) WCI_MLAWA_INSTALATOROW1
Zdjęcia instalacji radiokomunikacyjnej